

УДК 531.43

МЕТОД ОПРЕДЕЛЕНИЯ РЕАКЦИИ  
ПРИ ПЛОСКОМ КОНТАКТЕ ТВЕРДЫХ ТЕЛ

ИВАНОВ А. П.

Предлагается метод определения реакции шероховатой плоскости на движущееся по ней тело с плоским основанием. В основе метода лежит представление об одностороннем характере контакта между телом и плоскостью, которые считаются абсолютно жесткими.

1. Рассмотрим движение твердого тела с плоским основанием  $D$  по шероховатой плоскости под действием активных сил с главным вектором  $Q$  и главным моментом  $M$  относительно центра масс  $G$ . Свяжем с опорной плоскостью трехгранник  $e_1 e_2 e_3$ , направив орт  $e_3$  перпендикулярно этой плоскости в область возможных движений тела; условием контакта является неравенство  $Q_3 < 0$ .

Уравнения движения имеют вид

$$m\dot{v} = Q + F, \quad (J\dot{\omega}) = M + M_F, \quad v_3 = \omega_1 = \omega_2 = 0 \quad (1.1)$$

где  $v$ ,  $\omega$  — скорость точки  $G$  и угловая скорость тела,  $m$  и  $J$  — его масса и центральный тензор инерции,  $F$ ,  $M_F$  — главный вектор и главный момент реакции плоскости. Последняя группа равенств в (1.1) выражает кинематические связи, налагаемые на систему условиями контакта: вследствие этих связей она имеет три степени свободы.

Если трение локально удовлетворяет закону Амонтона — Кулона, то  $F$ ,  $M_F$  определяются соотношениями ( $r = r(A)$  — радиус-вектор точки  $A$  относительно центра масс  $G$ )

$$F = \int_D R(A) ds, \quad M_F = \int_D r \times R(A) ds \quad (1.2)$$

$$R(A) = (-\mu v_1(A)/v(A), -\mu v_2(A)/v(A), 1)N(A) \quad (A \in D)$$

где  $N$  — нормальное напряжение,  $\mu$  — коэффициент кинематического трения.

Как известно [1], определить функцию  $N(A)$  в условиях непрерывного контакта твердых тел невозможно. Поэтому обычно для решения этой задачи пользуются различными моделями теории упругости, однако преодолеть возникающие на этом пути трудности удается лишь в отдельных частных случаях [1–3]. Применяемый в данной работе подход связан с отказом от непрерывного характера фрикционного контакта при сохранении моделей абсолютно твердых тела и плоскости. Исследования [4–6] подтверждают важную роль микросоударений и связанных с ними нормальных перемещений тела в механизме трения.

Из представлений о дискретности фрикционного контакта следует, в частности, что реакция плоскости сводится к совокупности ударных импульсов, приложенных в случайных точках области  $D$ . Для среднего значения функции  $R(A)$  в (1.2) имеем выражение (суммирование по всем моментам микросоударов в промежутке времени от  $t$  до  $t+\tau$ ):

$$\tau^{-1} \int_t^{t+\tau} R(A) dt = \tau^{-1} \sum X_h(A) = X^*(A) \varphi(A) \quad (1.3)$$

где  $X_k(A)$  — импульс при ударе в точке  $A \in D$  в момент  $t=t_k$ ,  $\tau$  — промежуток осреднения,  $\bar{X}(A)$  — среднее (арифметическое) значение  $X_k(A)$ ,  $\varphi(A)$  — распределение общего числа микроударов за единицу времени в области  $D$ . Конкретный вид функции  $\varphi(A)$  зависит от особенностей микро-рельефа шероховатых поверхностей. Ввиду того что расположение микро-выступов в различных точках области  $D$  равновероятно, будем считать, что  $\varphi(A) = \varphi_0/s(D)$ , где  $s(D)$  — площадь области  $D$ ,  $\varphi_0 = \text{const}$ .

Заметим, что данное допущение имеет упрощенный характер: в действительности функция  $\varphi_0$  зависит от характера движения тела; например, при вращении круглого штампа эта функция на периферии больше, чем в центре (предлагаемый подход применим и в случае, когда  $\varphi_0$  зависит от  $\mathbf{v}, \boldsymbol{\omega}$ ).

Произведение  $X^*(A) = \bar{X}(A)\varphi_0$  имеет размерность силы; полагая в (1.2)

$$\mathbf{R}(A) = X^*(A)/s(D) \quad (1.4)$$

получим уравнение (1.1), описывающее усредненное по статистическому ансамблю возможных реализаций микро-рельефа движение тела [7].

Заметим также, что поскольку в промежутках между микроударами тело совершает пространственное движение, то третья группа равенств (1.1) нарушается. Если единицы измерения массы, длины и времени выбраны таким образом, что в рассматриваемом движении  $m=1$ ,  $|\mathbf{r}| \sim 1$ ,  $A \in D$ ,  $2T = mv^2 + (\boldsymbol{\omega}, \mathbf{J}\boldsymbol{\omega}) \sim 1$ , то справедлива оценка  $mv_s^2 + (\boldsymbol{\omega}, \mathbf{J}\boldsymbol{\omega})|_{\omega_3=0} \sim \varepsilon^2 \ll 1$ , вследствие чего микродвижения между ударами имеют продолжительность порядка  $\varepsilon$ .

Проинтегрируем систему (1.1) на промежутке  $[t, t+\varepsilon^{1/2}]$ . Опуская члены, исчезающие с  $\varepsilon$ , получим, в частности, соотношения  $((\cdot, \cdot) — \text{скалярное произведение})$ :

$$Q_3 + F_3 = 0, \quad (\mathbf{M} + \mathbf{M}_F, \mathbf{J}^{-1}\mathbf{e}_i) = 0 \quad (i=1, 2) \quad (1.5)$$

выражающие малость величин  $v_3, \omega_1, \omega_2$ .

Ввиду того что число микроударов на промежутке осреднения порядка  $\varepsilon^{-1/2} \gg 1$ , в (1.5) можно воспользоваться представлением (1.4). В результате получим

$$Q_3 + s^{-1}(D) \int_D X_3^*(A) ds = 0 \quad (1.6)$$

$$(\mathbf{M} + s^{-1}(D) \int_D \mathbf{r} \times X^*(A) ds, \mathbf{J}^{-1}\mathbf{e}_i) = 0 \quad (i=1, 2)$$

Для описания единичного удара воспользуемся уравнениями [8]:

$$m\Delta\mathbf{v} = \mathbf{X}, \quad \mathbf{J}\Delta\boldsymbol{\omega} = \mathbf{r} \times \mathbf{X} \quad (1.7)$$

$$m\Delta\mathbf{v}(A) = m\Delta(\mathbf{v} + \boldsymbol{\omega} \times \mathbf{r}) = \mathbf{X} + m\Delta\boldsymbol{\omega} \times \mathbf{r}$$

Окончание удара определяется на основании гипотезы Ньютона

$$\Delta v_3(A) = -(1+\kappa)v_3^-(A), \quad v_3(A) = v_3 - \omega_2 x_1 + \omega_1 x_2, \quad (x_1, x_2, x_3) = \mathbf{r} \quad (1.8)$$

где минус сверху относится к началу удара,  $\kappa$  — коэффициент восстановления скорости. Связь между компонентами ударного импульса в общем случае определена в [9, 10]; в обсуждаемом случае  $|v_3^-(A)| \ll 1$  и (исключая случай тангенциального удара [9]) можно приближенно считать, что

$$\mathbf{X}(A) = \mathbf{l}(A)X_3(A), \quad \mathbf{l}(A) = (-\mu v_1(A)/v_\tau(A), -\mu v_2(A)/v_\tau(A), 1) \quad (1.9)$$

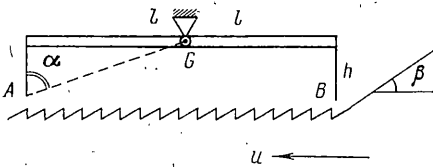
$$v_1(A) = v_1 - \omega_3 x_2, \quad v_2(A) = v_2 + \omega_3 x_1, \quad v_\tau^2(A) = v_1^2(A) + v_2^2(A)$$

Выразим из формул (1.7), (1.8) величину  $X_3$  через  $v_3^-$ :

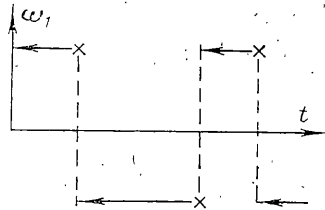
$$X_3(A) = \Phi(A)(v_3^- - \omega_2^- x_1 + \omega_1^- x_2) \quad (1.10)$$

$$\Phi(A) = -m(1+\kappa) \{1 + m(\mathbf{J}^{-1}[\mathbf{r} \times \mathbf{l}(A)], \mathbf{r} \times \mathbf{e}_3)\}^{-1}$$

Отсюда следует линейная зависимость  $X_3(A)$  от  $v_3^-$ ,  $\omega_{1,2}^-$ . Ввиду этого аналогичные соотношения связывают и средние значения  $X_3^-(A)$  с  $v_3^-$ ,



Фиг. 1



Фиг. 2

$\omega_{1,2}^-$ , а также  $X_3^*(A)$  с  $v_3^*$ ,  $\omega_{1,2}^*$ . Здесь  $v_3^* = v_3^- \sim \epsilon_0$ ,  $\omega_{1,2}^* = \omega_{1,2}^- \sim \epsilon_0$ . Замечим, что в отличие от средних значений  $v_3$ ,  $\omega_{1,2}$ , определенных на некотором интервале времени и являющихся малыми порядка  $\epsilon$ , величины  $v_3^*$ ,  $\omega_{1,2}^*$  конечные, не зависящие от  $\epsilon$ .

Что касается  $v_3^*$ , такой вывод следует из того, что  $-v_3^- \sim \epsilon$ ,  $\epsilon_0 \sim \epsilon^{-1}$ . Возможность отличия значений  $\omega_{1,2}$  от нуля показывает следующий пример.

2. Рассмотрим коромысло, шарнирно закрепленное в своем центре инерции  $G$  над движущимся со скоростью  $u$  основанием, имеющим пилообразный профиль с углом подъема  $\beta$  (фиг. 1), шаг которого намного меньше плеча коромысла  $l$ .

Поскольку центр инерции коромысла неподвижен, в уравнениях (1.7) следует считать  $\Delta v = 0$ , а граничные условия (1.8) ввиду характера ударов связывать не с изменением вертикальной составляющей скорости, а с изменением ее составляющей, нормальной наклонному участку профиля. Тогда начальные и конечные значения угловой скорости при ударах в точках  $A$  и  $B$  будут удовлетворять соотношениям

$$\begin{aligned} l\omega_A^+ \sin(\alpha + \beta) &= -\kappa [u \sin \beta + l\omega_A^- \sin(\alpha + \beta)] \\ l\omega_B^+ \sin(\alpha - \beta) &= \kappa [u \sin \beta - l\omega_B^- \sin(\alpha - \beta)] \quad (\text{tg } \alpha = l/4) \end{aligned} \quad (2.1)$$

Установившемся виброударному режиму движения коромысла соответствует такое решение системы (2.1), для которого  $\omega_A^+ = \omega_B^-$ ,  $\omega_B^+ = \omega_A^-$ . Отсюда получаем

$$\begin{aligned} \omega_A^- &= \theta [\sin^{-1}(\alpha - \beta) + \kappa \sin^{-1}(\alpha + \beta)] \\ \omega_B^- &= -\theta [\kappa \sin^{-1}(\alpha - \beta) + \sin^{-1}(\alpha + \beta)], \quad \theta = \kappa (1 - \kappa^2)^{-1} u l^{-1} \sin \beta \end{aligned} \quad (2.2)$$

При  $0 < \kappa < 1$  и  $\alpha > \beta$  будет  $|\omega_A^-| > |\omega_B^-|$ . Примерная зависимость  $\omega$  от  $t$  изображена на фиг. 2. Так как коромысло не уходит далеко от своего среднего положения, то площади прямоугольников, лежащих выше и ниже оси  $\omega = 0$ , примерно равны между собой; при этом  $\omega^- = \frac{1}{2}(\omega_A^- + \omega_B^-) > 0$  — среднее значение  $\omega^-$ .

В обсуждаемом случае движения тела по плоскости ситуация качественно такая же, хотя получение оценок типа (2.2) здесь не представляется возможным: для этого потребовалось бы точное описание микрорельефа шероховатых поверхностей. Оказывается, однако, что в таких оценках нет необходимости — значения  $\omega_{1,2}^*$ , так же как и  $v_3^*$ , можно определить из системы уравнений (1.6).

Выражая в этих уравнениях  $X_3^*(A)$  через  $v_3^*$ ,  $\omega_{1,2}^*$  по формулам, аналогичным (1.10), получим следующую систему для определения  $v_3^*$ ,  $\omega_{1,2}^*$ :

$$Q_3 s(D) + v_3^* \int_D \Phi(A) ds - \omega_2^* \int_D x_1 \Phi(A) ds + \omega_1^* \int_D x_2 \Phi(A) ds = 0 \quad (2.3)$$

$$s(D) (M, s^{-1} e_i) + v_3^* \int_D Z_i ds - \omega_2^* \int_D x_1 Z_i ds + \omega_1^* \int_D x_2 Z_i ds = 0$$

$$Z_i = \Phi(A) (\mathbf{r} \times \mathbf{l}, \mathbf{J}^{-1} e_i) \quad (i=1, 2)$$

Разрешая систему (2.3), окончательно найдем функцию  $R(A)$  из (1.4), что позволяет затем определить реакцию плоскости из (1.2).

Свойство описанного метода состоит в том, что распределение  $R(A)$  не зависит от характеристик микрогеометрии шероховатых поверхностей, а лишь от макроскопических величин — распределений скоростей и масс. Асимметрия нормальных контактных напряжений, благодаря которой тело в среднем совершает плоскопараллельное движение, обеспечивается отличием величин  $\omega_{1,2}^*$  от нуля. Будем называть вектор  $\omega^* = (\omega_1^*, \omega_2^*, 0)$  псевдокачением (в среднем по времени качения нет).

Рассмотрим некоторые примеры, в которых опорная плоскость горизонтальна,  $Q$  — вес тела,  $M=0$ .

Пусть тело обладает вертикальной плоскостью симметрии и в начальный момент времени скорости всех его точек параллельны этой плоскости, т. е.  $x_2=v_2=\omega_3=0$ . В формуле (1.9) будем иметь  $I=(-\mu \operatorname{sgn} v_1, 0, 1)$ , и функции  $\Phi(A)$ ,  $Z_2(A)$  оказываются четными функциями  $x_2$ , а  $Z_1(A)$  — нечетной. Ввиду этого из второго уравнения (2.3) получим  $\omega_1^*=0$ , вследствие чего по формуле (1.10) распределение  $X_3^*(A)$  симметрично относительно плоскости  $x_2=0$ . Поэтому момент реакции плоскости относительно оси  $Ge_3$  равен нулю и тело будет совершать плоскопараллельное движение (движение тела может сопровождаться его отклонениями от плоскости  $x_2=0$ , но соотношения  $x_2=v_2=\omega_3=0$  справедливы в среднем при большом числе опытов).

Для кругового цилиндра, скользящего по плоскости с одновременным верчением вокруг своей оси, асимметрия контактных напряжений связана с наличием псевдокачения  $\omega^*$ , а также с различием в ударных импульсах, вычисленных для разных точек  $A$  в отсутствие псевдокачения. Если бы такого различия не было, вектор  $\omega^*$  был бы ортогонален  $v$  и направлен так, чтобы тройка  $v, \omega^*, e_3$  была правой. В целом асимметрия приводит к тем же эффектам в движении цилиндра, которые объясняются в [3] при помощи упругих деформаций. Предлагаемый метод позволяет получить не только качественные выводы, но и численные оценки по формулам (1.4), (1.10), (2.3).

Рассмотрим верчение несимметричного твердого тела вокруг вертикальной главной центральной оси инерции  $Ge_3$ , проходящей через центр основания эллиптической формы. Вследствие симметрии области  $D$  имеем  $\int_D Z_{1,2} ds = 0$ , а так как по предположению и  $M=0$ , то из системы (2.3) следует, что  $\omega_{1,2}^* = 0$ . Поэтому асимметрия функции  $X_3(A)$  в (1.10) обусловлена лишь зависимостью  $\Phi(A)$  от  $x_1, x_2$ . Направляя орты  $e_1, e_2$  параллельно горизонтальным осям инерции тела и учитывая, что  $v_3^-(A) = v_3^-, v_1^-(A) = -x_2\omega_3, v_2^-(A) = x_1\omega_3$ , получим для величины  $\Phi(A)$  в (1.10) следующее выражение:

$$\Phi(A) = -m(1+\kappa) \{ 1 + m [J_{22}^{-1}x_1^2 + J_{11}^{-1}x_2^2 - \mu x_1 x_2 x_3 (x_1^2 + x_2^2)^{-1/2} (J_{22}^{-1} - J_{11}^{-1}) \operatorname{sgn} \omega_3]^{-1} \} \quad (2.4)$$

Отсюда следует, что величина  $\Phi(A)$  и, следовательно,  $X_3(A)$ , зависят от направления верчения. Для первого и третьего квадрантов  $x_1 x_2 > 0$  и величина  $X_3$  больше при  $(J_{11} - J_{22})\omega_3 < 0$ , чем при  $(J_{11} - J_{22})\omega_3 > 0$ ; для второго и четвертого квадрантов  $x_1 x_2 < 0$  и зависимость  $X_3$  от направления верчения противоположная.

В общем случае оси эллипса не параллельны главным центральным осям инерции  $Ge_1, Ge_2$ . Если большая ось лежит в первом и третьем квадрантах, то при  $(J_{11} - J_{22})\omega_3 < 0$  момент трения оказывается большим, чем при обратном направлении вращения. Вычисления, проведенные для области  $D$  в форме прямоугольника со сторонами, равными 1 и 2, при расположении оси  $Ge_1$  параллельно его диагонали и отношении  $J_{22}/J_{11} = 2,4$ , приводят к таким значениям отношения моментов трения для различных направлений верчения: для  $\mu x_3 = 0$  это отношение равно единице, при  $\mu x_3 = -0,5$  и  $\mu x_3 = -1$  — соответственно 1, 11 и 1,24. Заметим, что направление устойчивого вращения кельтских камней [11] соответствует в рассматриваемой модели направлению меньшего трения.

Для иллюстрации зависимости трения от направления вращения изучим расположение линий постоянного нормального давления. В силу формулы (1.10) эти линии являются кривыми второго порядка, причем для достаточно малых значений произведения  $\mu x_3$  (когда скорость при ударе не меняет направления и можно пользоваться формулой (1.9)) эти кривые — эллипсы. В последнем из рассмотренных примеров  $\omega^* = 0$  и центры этих эллипсов совпадают с центром области  $D$ , а их оси параллельны  $e_1, e_2$ . Если  $\mu x_3 < 0$ , то в силу (2.4) оси этого семейства изобар поворачиваются в направлении вращения тела. При  $\omega_3 < 0$  область  $D$  попадает в область более высокого давления, чем при  $\omega_3 > 0$  (с увеличением диаметра эллипса давление падает), что и объясняет больший момент трения.

Заметим, что в модели твердого тела на деформируемом основании изобары представляют собой прямые линии [1]. Из соображений симметрии для рассматриваемого примера давление в области  $D$  постоянно и трение не зависит от направления вращения тела. Следовательно, поведение кельтских камней подтверждает выводы, полученные с помощью предлагаемого метода.

#### ЛИТЕРАТУРА

1. McMillan W. D. Dynamics of rigid bodies. N. Y.—L.: MacGraw-Hill. 1936. 478 с.
2. Ишинский А. Ю., Соколов Б. Н., Черноусько Ф. Л. О движении плоских тел при наличии трения // Изв. АН СССР. МТТ. 1981. № 4. С. 17—28.
3. Самсонов В. А. О трении при скольжении и вращении тела // Вестн. МГУ. Сер. 1. 1981. № 2. С. 76—78.
4. Толстой Д. М. Собственные колебания ползуна, зависящие от контактной жесткости, и их влияние на трение // Докл. АН СССР. 1963. Т. 153. № 4. С. 820—823.
5. Буданов Б. В., Кудинов В. А., Толстой Д. М. Взаимосвязь трения и колебаний // Трение и износ. 1980. Т. 1. № 1. С. 79—89.
6. Кориаули И. П., Рагнер С. Б. Применение закономерностей трения при постоянном контактировании к прерывистому трению // Трение и износ. 1984. Т. 5. № 5. С. 833—840.
7. Власов А. А. Статистические функции распределения. М.: Наука. 1966. 356 с.
8. Гольдсмит В. Удар. Теория и физические свойства соударяемых тел. М.: Стройиздат. 1965. 448 с.
9. Болотов Е. А. Об ударе двух твердых тел при действии трения // Изв. Моск. инж. училища. 1908. Ч. 2. Вып. 2. С. 43—55.
10. Keller J. B. Impact with friction // Trans. ASME. J. Appl. Mech. 1986. V. 53. No. 1. P. 1—4.
11. Magnus K. Kreisel. Theorie und Anwendungen. В.: Springer. 1971. 493 p. // Теория и применения. М.: Мир. 1974. 526 с.

Москва

Поступила в редакцию  
12.XI.1986